

Remaining useful life prediction on time series

2023년도 동계 세미나



Sogang University
Vision & Display Systems Lab, Dept. of Electronic Engineering



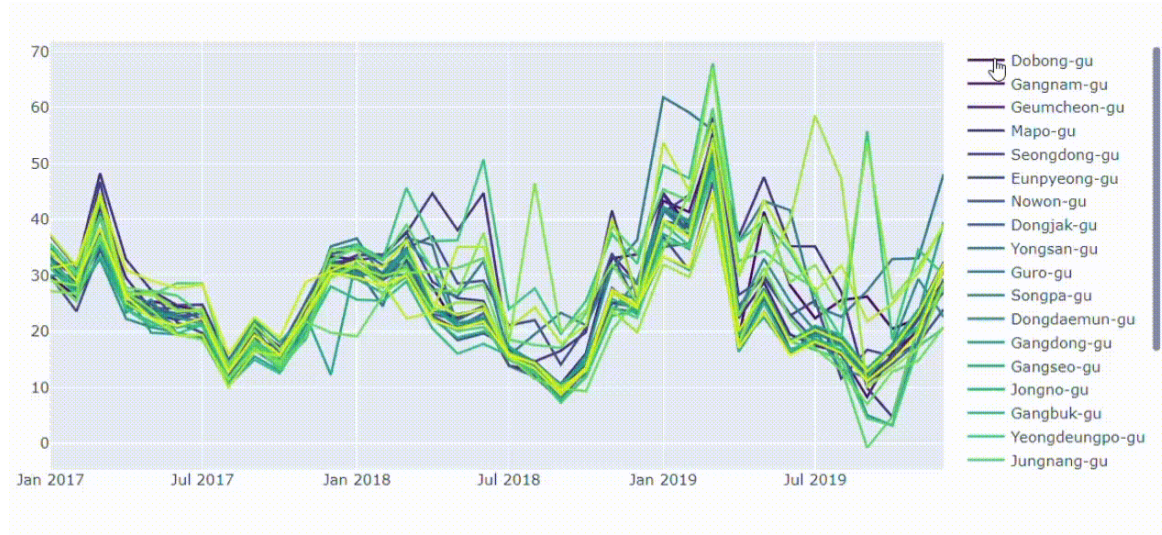
Presented By
Yein Park

Outline

- Background
 - Time series domain
 - Necessity of research on remaining useful life prediction
- Remaining useful life estimation via transformer encoder enhanced by a gated convolutional unit
- An integrated multi-head dual sparse self-attention network for remaining useful life prediction

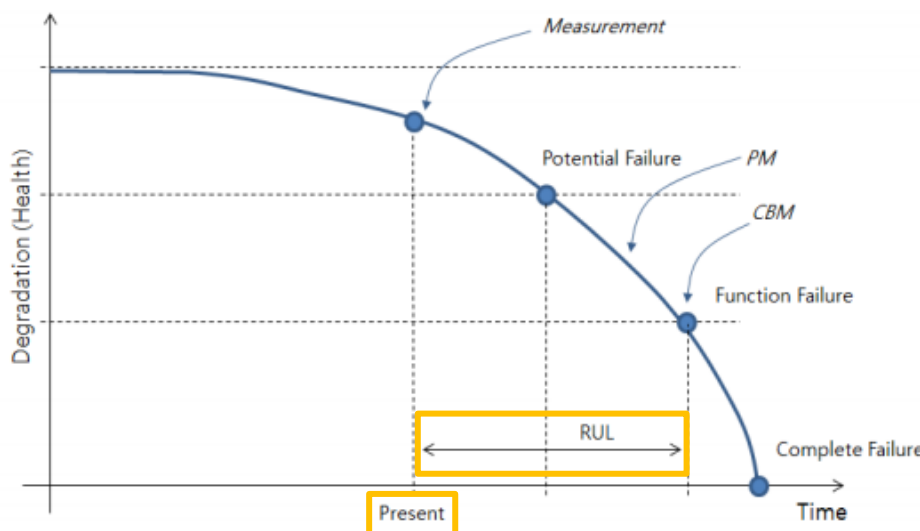
Background

- Time series domain
 - A series of sequential datasets collected over a period of time
 - Being ordered in terms of time
 - Consecutive observations correlated with each other
 - 시계열 데이터 분석의 목적
 - 과거 시점의 시계열 데이터가 갖고 있는 규칙성을 발견해 이를 모형화 / 모델링하는 것
 - 추정된 모형 / 모델을 통해 미래 시점을 예측하는 것



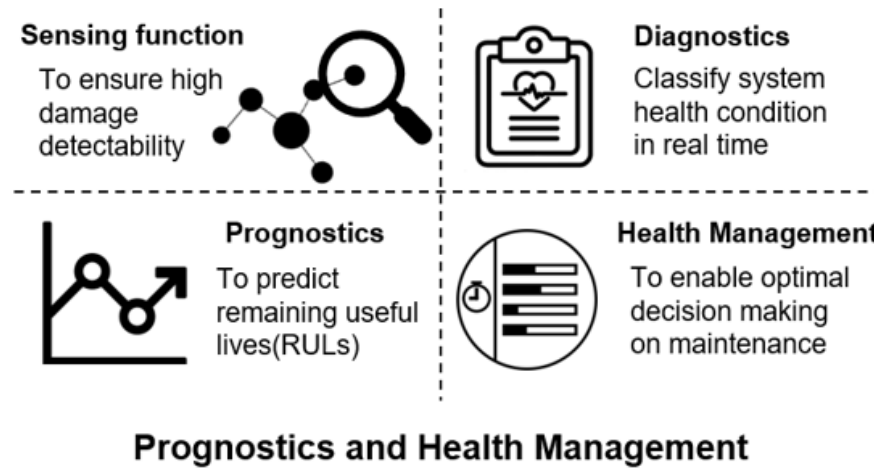
Background

- Necessity of research on remaining useful life prediction
 - 딥러닝 기반의 잔여 유효 수명예측 시스템
 - AI가 예측하는 수명 곡선을 통하여 잔여수명을 예측하고 기계의 안정성 유지
 - 산업 현장에서 사용되는 기계 주요 부품들의 성능 저하로 인한 문제 방지
 - 항공기 산업 및 발전소 등 다양한 분야에서 활용됨
 - 기계가 의도한 기능을 수행할 수 있는 정도



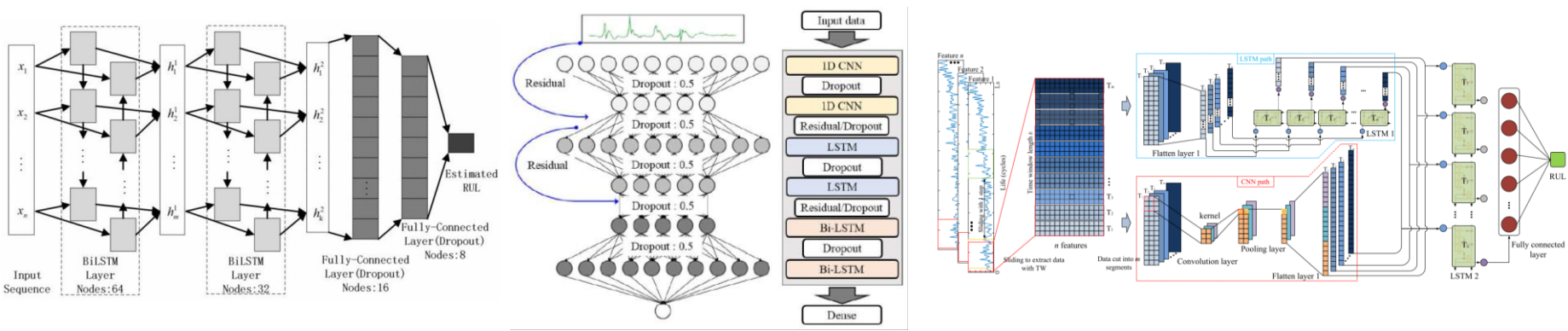
Background

- Necessity of research on remaining useful life prediction
 - PHM (prognostic health management, 예후 상태 관리) 기술의 중요성 증가
 - 시스템 작동을 지속적으로 모니터링하고 장애 수준이나 사용할 수 없는 조건이 발생할 때 비정상을 진단
 - 유지관리 효율성, 안정 작동성, 시스템 성능 개선 면에서 중요성 증가
 - 해당 기술을 통해 필요한 경우에만 condition-based maintenance 수행할 수 있으며 유지 관리 비용을 크게 줄일 수 있음
 - 이때, prognostics는 remaining useful life (RUL, 잔여 수명)를 예측



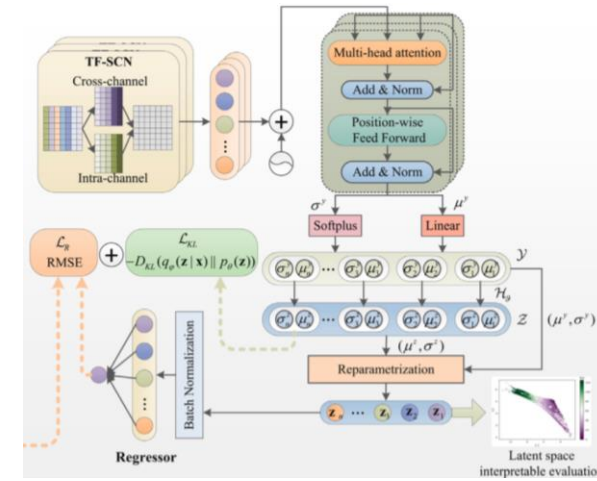
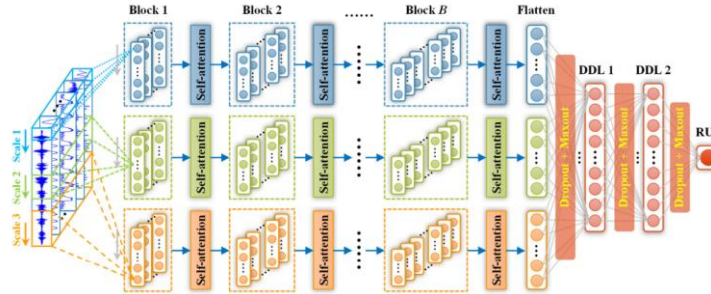
Background

- Trends in remaining useful life prediction research
 - Single / sequential / parallel structure



Background

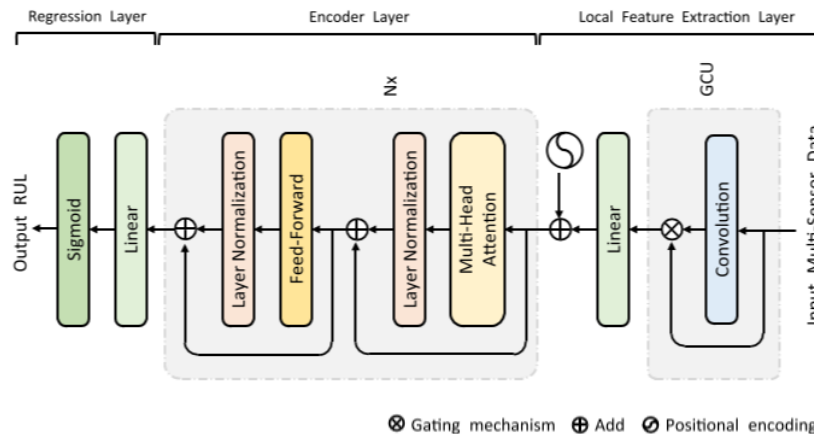
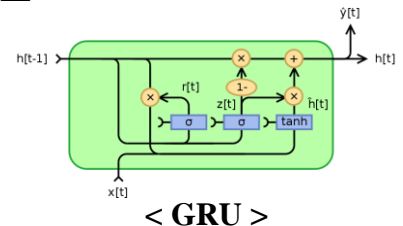
- Trends in remaining useful life prediction research
 - Attention mechanism / Transformer



Mo, Yu, et al. "Remaining useful life estimation via transformer encoder enhanced by a gated convolutional unit." *Journal of Intelligent Manufacturing*, 2021.

Introduction

- 잔여수명 예측 분야에 있어 Transformer 구조를 적용한 최초의 논문
- Encoder layer: Transformer encoder를 모델 backbone으로 사용
 - Time sequence에서 long-term dependency 캡처
- Local feature extraction layer: gated convolutional unit (GCU) 제안
 - Gated recurrent unit (GRU)와 유사한 구조 및 의미로서, reset gate와 update gate로 구성됨
 - 입력 데이터에 대한 local feature 추출
 - Transformer encoder에서 local context에 둔감한 특성을 갖는 attention mechanism을 보완하기 위함



< 전체 프레임워크 >

Method

- 1) Local feature extraction layer

- 입력 데이터에 대한 local feature 추출
- 입력 데이터와 상위 layer feature 간 유익한 local feature 제공
- Gated convolutional unit (GCU)

- 입력 데이터에 CNN 적용

$$\therefore h_i = \text{conv}([x_{i-k/2}, \dots, x_i, \dots, x_{i+k/2}]) \quad x_i: \text{input data}$$

- 입력 데이터와 CNN feature 간 gating mechanism 적용

$$\therefore \text{Reset gate } r_i = \sigma(W_r h_i + V_r x_i + b_r) \quad \sigma: \text{sigmoid function}, W_r \& V_r \& b_r: \text{parameters}$$

→ 입력 데이터의 정보를 얼마나 버릴지 조정하는 gate

$$\therefore \text{Update gate } u_i = \sigma(W_u h_i + V_u x_i + b_u) \quad W_u \& V_u \& b_u: \text{parameters}$$

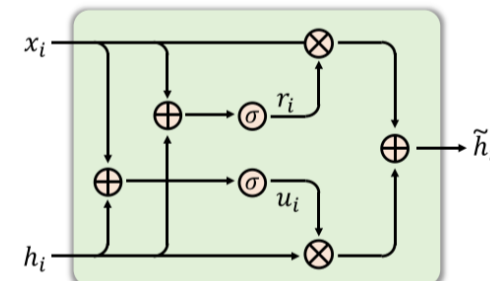
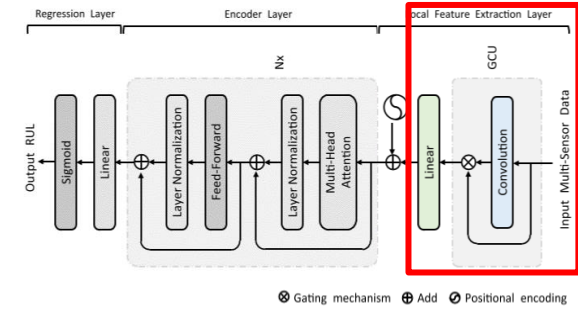
→ 이전 레이어의 정보를 얼마나 유지할지 조정하는 gate

$$-\tilde{h}_i = h_i \otimes u_i + x_i \otimes r_i \quad \otimes: \text{element-wise multiplication}$$

$$\therefore \text{CNN } \otimes \text{ update 확률} + \text{input } \otimes \text{ reset 확률}$$

- Linear mapping

- GCU 출력 값인 \tilde{h}_i 에 대하여 linear mapping 적용



Method

- 2) Encoder layer

- Local feature extraction layer의 출력 값을 입력으로 함

- Transformer encoder 사용

- Time sequence에서 long-term dependency 캡처

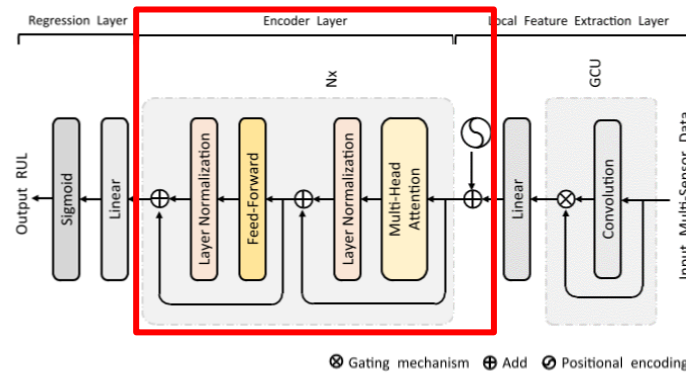
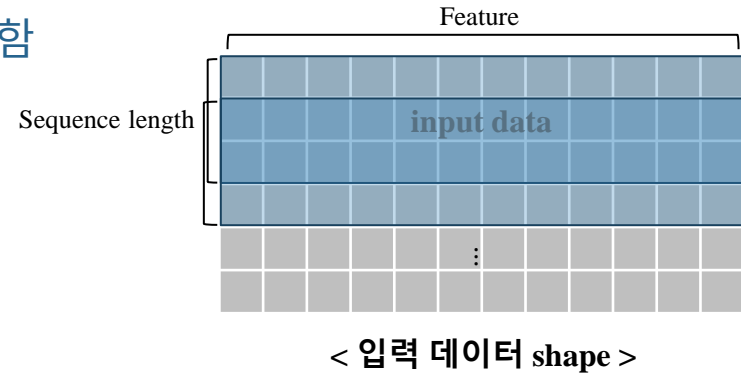
- 커널 크기에 대한 제한이 없음

;;, CNN 기반 방법은 커널에 대한 제한이 있음

- 완전한 병렬 계산이 가능함

;;, RNN 기반 방법은 과거 입력이 처리되어야 다음 입력으로 넘어가는 특성이 있음

;;, 즉, 모든 입력의 처리 과정이 순차적으로 거쳐져야 하므로 시간 소모가 큰 문제가 있음



Method

- 2) Encoder layer: Transformer encoder

- 크기 position encoding, multi-head attention, fully-connected layer로 구성됨

- Position encoding

- 서로 다른 주파수의 사인, 코사인 함수 사용
 - 입력 데이터 각각의 고유한 토큰 위치 값 획득

Local feature extraction layer의 출력 값에 더해짐

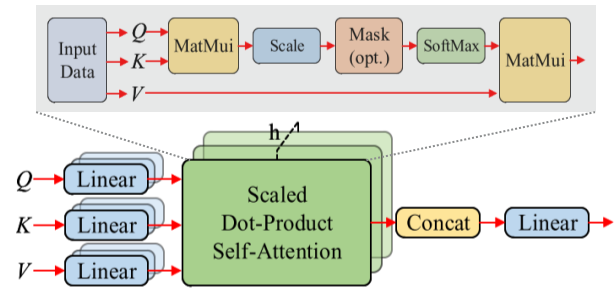
- Multi-head attention

- Self-attention function이 적용된 여러 개의 헤드로 구성됨

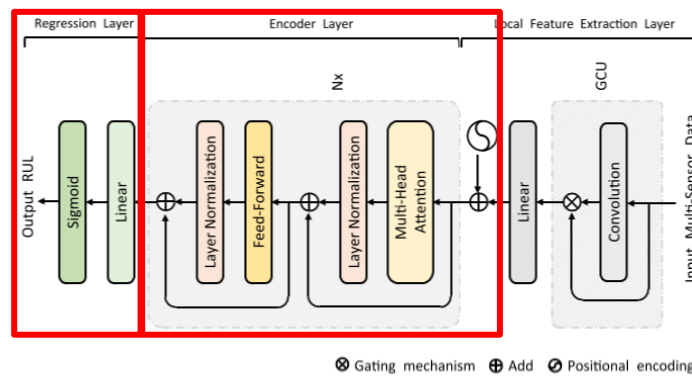
- Fully-connected layer

- 3) Regression layer

- Fully-connected layer



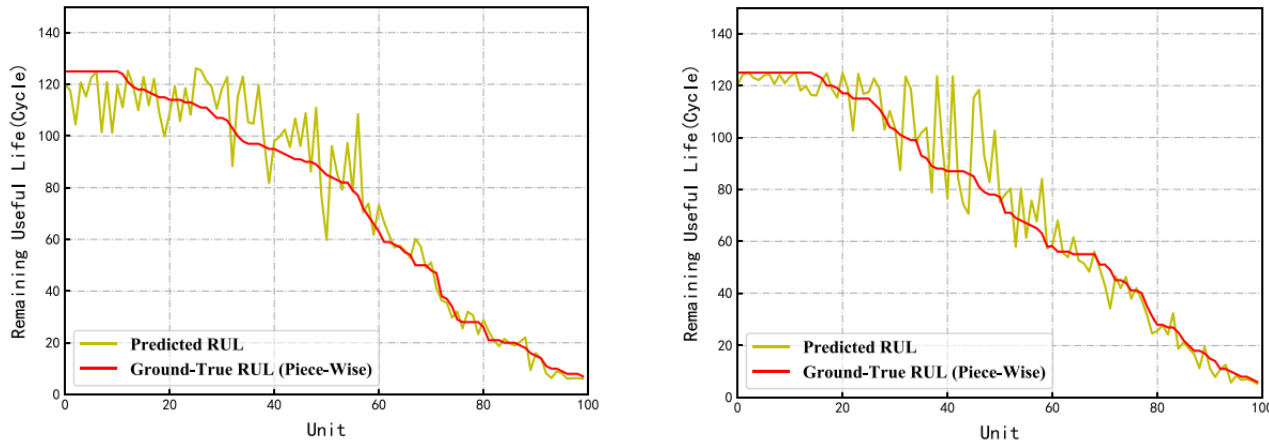
< Multi-head self-attention 과정 >



< Encoder layer, regression layer >

Results

- Comparison between the actual RULs and the estimated RULs



Method	FD001	FD002	FD003	FD004	Average
CNN (Badu <i>et al.</i> , 2016) Babu <i>et al.</i> , (2016)	18.45	30.29	19.82	29.16	24.43
DBN (Zhang <i>et al.</i> , 2016) Zhang <i>et al.</i> (2016)	15.04	25.05	12.51	28.66	20.32
LSTM-FNN (Zheng <i>et al.</i> , 2017) Zheng <i>et al.</i> (2017)	16.14	24.49	16.18	28.17	21.25
CNN-FNN (Li <i>et al.</i> , 2018) Li <i>et al.</i> (2018)	12.61	22.36	12.64	<u>22.43</u>	17.51
Auto-Encoder (Yu <i>et al.</i> , 2019) Yu <i>et al.</i> (2019)	14.74	<u>22.07</u>	17.48	23.49	19.45
RBM-LSTM-FNN (Ellefsen <i>et al.</i> , 2019) Ellefsen <i>et al.</i> (2019)	<u>12.56</u>	22.73	<u>12.10</u>	22.66	17.51
DCNN-FNN (Xu <i>et al.</i> , 2020) Xu <i>et al.</i> (2020)	12.61	28.51	12.62	30.73	21.12
Auto-Encoder (Yu <i>et al.</i> , 2020) Yu <i>et al.</i> (2020)	13.58	19.59	19.16	22.15	18.62
GCU-Transformer (this paper)	11.27	22.81	11.42	24.86	<u>17.59</u>

"An integrated multi-head dual sparse self-attention network for remaining useful life prediction." *Reliability Engineering & System Safety*, 2023.

Introduction

- 개선된 Transformer 기반의 multi-head dual sparse self-attention network 제안

- Transformer의 한계인 계산 복잡성을 고려

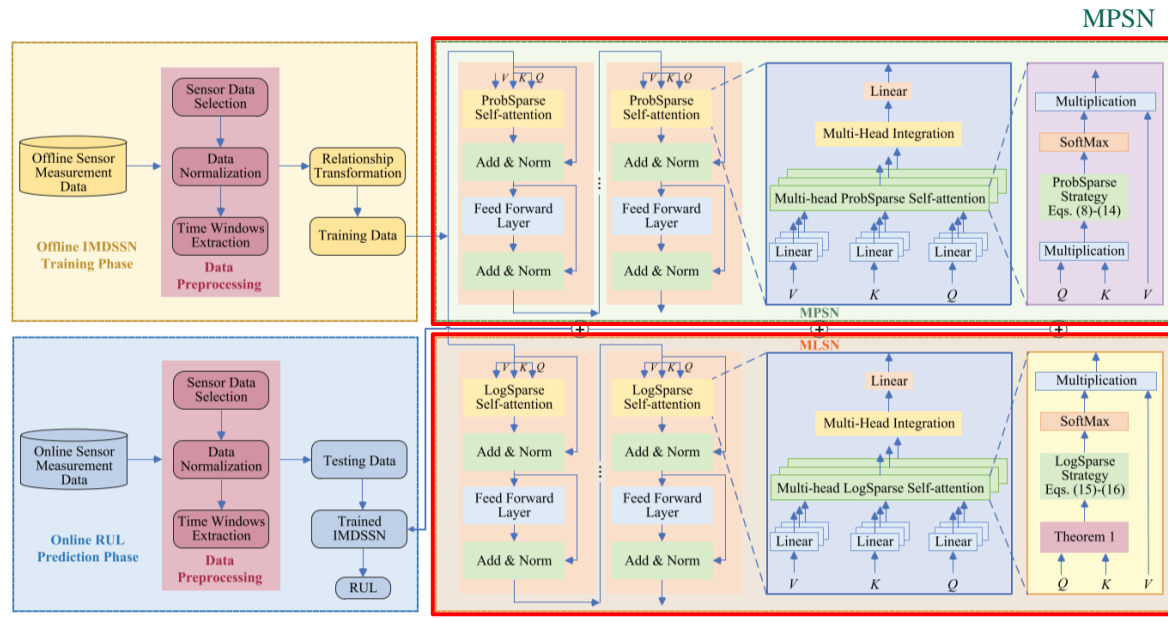
- Local key region에 집중하는 연구 필요

- Multi-head ProbSparse self-attention network (MPSN)

- Dot product operation에 있어 입력 데이터상의 주요 feature를 필터링하여 계산 효율성을 향상

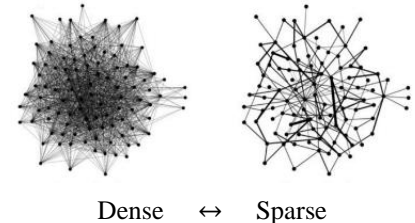
- Multi-head LogSparse self-attention network (MLSN)

- Time window 길이에 따라 증가하는 계산 복잡성을 줄이기 위한 로그 기반 sparse strategy 제안



Method

- 1) Multi-head ProbSparse self-attention network (MPSN)
 - Dot product operation의 주요 feature를 필터링하여 계산 효율성 향상
 - Self-attention mechanism의 dot product operation에 있어 probability distribution은 sparse할 것이라 가정
즉, attention score의 probability distribution은 sparse 할 것임
 - ↳ 소수의 time point에서의 dot product operation만이 RUL 예측에 상당한 영향을 미침
 - ↳ 중요한 역할을 하는 dot product operation을 필터링하여 연산 효율을 향상시킴
 - MPSN 연산 과정

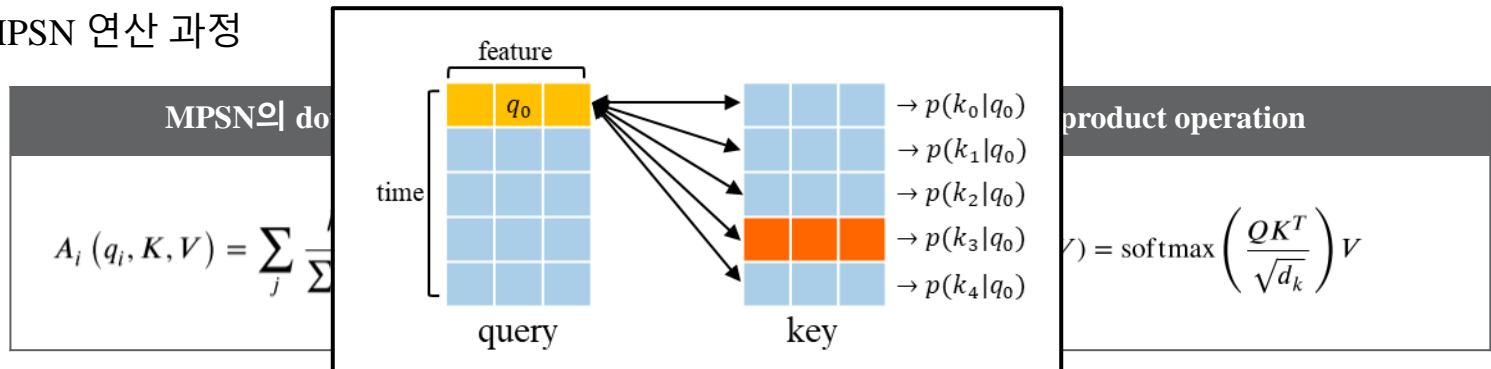
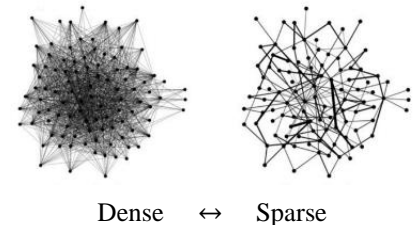


MPSN의 dot product operation	기존 dot product operation
$A_i(q_i, K, V) = \sum_j \frac{k(q_i, k_j)}{\sum_l k(q_i, k_l)} v_j = E_{p(k_j q_i)} [v_j]$	$\text{Attention}(Q, K, V) = \text{softmax}\left(\frac{QK^T}{\sqrt{d_k}}\right)V$

- ↳ 기존 dot product operation은 computational load가 큼
- ↳ MPSN - conditional probability $p(k_j|q_i)$: query q_i 가 주어졌을 때 key k_j 일 확률
 - ✓ 이를 통해, dot product operation에 있어 key의 일부와 query만을 취함
 - ↳ $k(q_i, k_j)$: $\exp(q_i k_j^T / \sqrt{d_k})$ 으로 exponential function임

Method

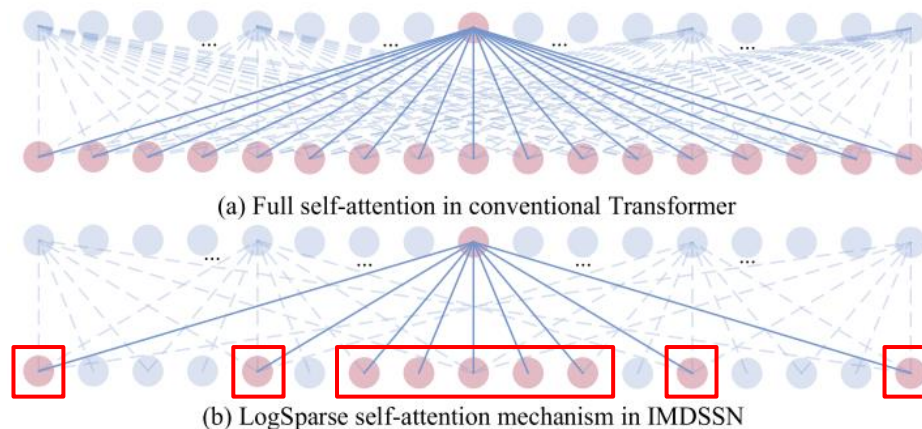
- 1) Multi-head ProbSparse self-attention network (MPSN)
 - Dot product operation의 주요 feature를 필터링하여 계산 효율성 향상
 - Self-attention mechanism의 dot product operation에 있어 probability distribution은 sparse할 것이라 가정
즉, attention score의 probability distribution은 sparse 할 것임
 - ↳ 소수의 time point에서의 dot product operation만이 RUL 예측에 상당한 영향을 미침
 - ↳ 중요한 역할을 하는 dot product operation을 필터링하여 연산 효율을 향상시킴
 - MPSN 연산 과정



- ↳ 기존 dot product operation은 computational load가 큼
- ↳ MPSN - conditional probability $p(k_j|q_i)$: query q_i 가 주어졌을 때 key k_j 일 확률
 - ✓ 이를 통해, dot product operation에 있어 key의 일부와 query만을 취함
 - ↳ $k(q_i, k_j)$: $\exp(q_i k_j^T / \sqrt{d_k})$ 으로 exponential function임

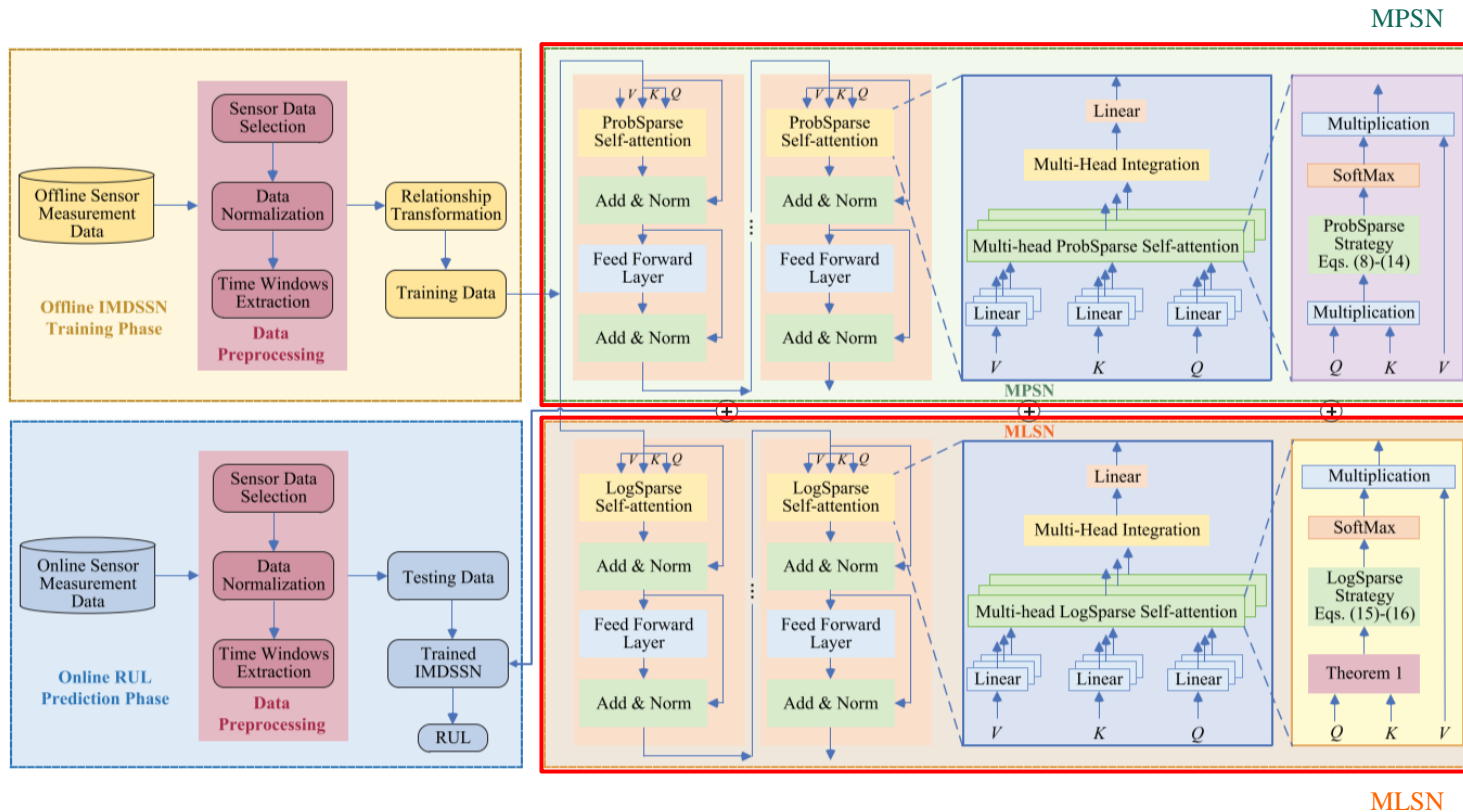
Method

- 2) Multi-head LogSparse self-attention network (MLSN)
 - Time window 길이에 따라 증가하는 복잡성을 줄이기 위한 로그 기반 sparse strategy 제안
 - MPSN과 유사하게, MLSN도 multi-head self-attention mechanism network 기반임
 - 기존의 Transformer model은 주어진 time window length (L)에 대하여 full self-attention이 수행됨
 - ∴ Cell index set $I_l^k = \{1, 2, \dots, l, \dots, L\}$
 - ∴ 입력 데이터 차원 L 이 증가함에 따라 계산 복잡성이 제곱꼴로 증가함
 - 계산 복잡성을 완화하기 위해 cell index set 재구성
 - ∴ $I_l^k = \{l - 2^{\lfloor \log_2 l \rfloor}, l - 2^{\lfloor \log_2 l \rfloor} - 1, \dots, l - 2^0, l, l + 2^0, \dots, l + 2^{\lfloor \log_2 l \rfloor} - 1, l + 2^{\lfloor \log_2 l \rfloor}\}$
 - ✓ 입력 데이터 차원 L 이 증가함에 따라 계산 복잡성이 두배로 증가함



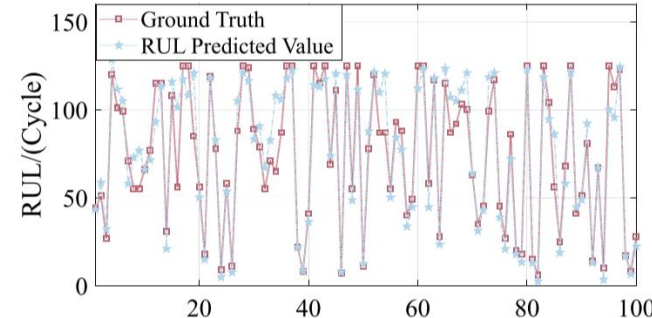
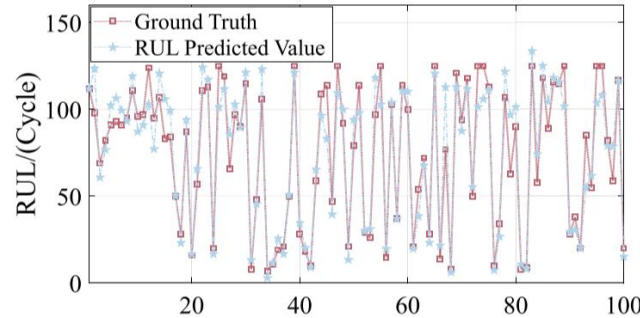
Method

- 개선된 Transformer 기반의 multi-head dual sparse self-attention network 제안
 - MPSN와 MLSN의 output feature가 concatenation되어 최종 예측된 RUL 값 추득



Results

- Comparison between the actual RULs and the estimated RULs



Approach	RMSE				S-Score			
	FD001	FD002	FD003	FD004	FD001	FD002	FD003	FD004
SVM [32]	40.72	52.99	46.32	59.96	7703.33	316483.31	22541.58	141122.19
CNN [12]	18.45	30.29	19.82	29.16	1286.70	13570.00	1596.20	7886.40
ELM [32]	17.27	37.28	18.90	38.43	523.00	498149.97	573.78	121414.47
MLP [32]	16.78	28.78	18.47	30.96	560.59	14026.72	479.85	10444.35
CNN-LSTM [11]	16.13	20.46	17.12	23.26	303.00	3440.00	1420.94	4630.00
DBN [32]	15.21	27.12	14.71	29.88	417.59	9031.64	442.43	7954.51
MODBNE [32]	15.04	25.05	12.51	28.66	334.23	5585.34	421.91	6557.62
CEED+DLSTM [33]	14.72	29.00	17.72	33.43	262.00	6953.00	452.00	15069.00
BiLSTM-ED [34]	14.74	22.07	17.48	23.49	273.00	3099.00	574.00	3202.00
IESGP [35]	14.72	24.81	14.99	28.61	331.90	4245.40	355.20	6280.80
Attention-LSTM [36]	14.53	—	—	27.06	322.44	—	—	5649.14
CNN-LSTM-DA [37]	14.40	27.23	14.32	26.69	290.00	9869.00	316.00	6594.00
BiGRU [13]	—	26.54	—	29.13	—	6352.00	—	6339.00
BiLSTM [38]	13.65	23.18	13.74	24.86	295.00	4130.00	317.00	5430.00
LSTM [18]	13.52	24.42	13.54	24.21	431.70	14459.00	347.30	14322.00
Transformer	13.32	19.83	13.92	21.88	329.00	3394.25	431.34	3566.14
AdaBN-DCNN [39]	13.17	20.87	14.97	24.57	279.00	2020.00	817.00	3690.00
MPSN	13.16	18.06	14.09	21.36	270.84	2168.99	410.73	3216.68
BiGRU-TSAM [31]	12.56	18.94	12.45	20.47	213.35	2264.13	232.86	3610.34
MLSN	12.50	18.30	13.57	22.65	245.76	2561.82	316.89	4056.62
Proposed IMDSSN	12.14	17.40	12.35	19.78	206.11	1775.15	229.54	2852.81

Conclusion

- 시계열 데이터 기반 잔여수명 예측 태스크
 - 다양한 Transformer 기반 구조 채택 증가
 - 그러나, 성능 측면에서 우수하지 못하다는 단점이 있음
 - 현재까지는 self-attention 기반 구조의 방법들의 성능이 더 우수함을 확인
 - 단순한 적용을 뛰어넘어 해당 태스크에 최적화된 구조로 변형 시도
 - 공장 및 산업체에서 실제 많은 적용이 되고 있는 태스크
 - 실시간 환경을 고려하여 계산 복잡성을 줄이기 위한 방법이 연구되고 있음